



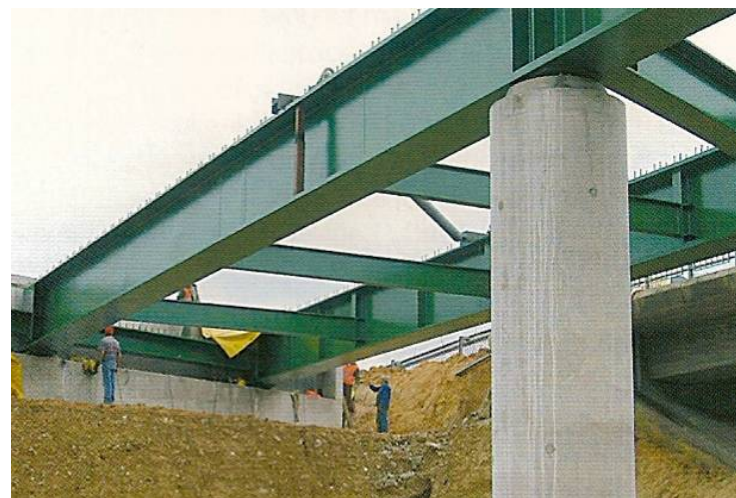
[www.cmm.pt](http://www.cmm.pt)



## Curso de Formação:

# Dimensionamento Sísmico de Estruturas Metálicas

Lisboa, 24 e 25 de Setembro de 2010



Rita Bento



[www.cmm.pt](http://www.cmm.pt)



## SUMÁRIO - MÉTODOS AVANÇADOS PARA AVALIAÇÃO DO DESEMPENHO SÍSMICO

---

- ❑ **INTRODUÇÃO ÀS METODOLOGIAS DE ANÁLISE ESTÁTICA NÃO-LINEAR ('PUSHOVER') E DINÂMICA NÃO LINEAR ('TIME-HISTORY')**
- ❑ **VANTAGENS E DESVANTAGENS DA ANÁLISE ESTÁTICA NÃO LINEAR NA AVALIAÇÃO SÍSMICA DE ESTRUTURAS**
- ❑ **AVALIAÇÃO DE DESEMPENHO SÍSMICO COM BASE NO MÉTODO N2 PROPOSTO NO EC8**
- ❑ **EXEMPLO DE APLICAÇÃO**



## INTRODUÇÃO

### Análises Elásticas-Lineares

- Análises Estáticas Equivalentes
- Análises Dinâmicas Modais, por Espectros de Resposta

### Análises Não-Lineares

- Análises Estáticas Não-Lineares
- Análises Dinâmicas Não-Lineares

**Regulamentos  
Sísmicos**



[www.cmm.pt](http://www.cmm.pt)



## INTRODUÇÃO

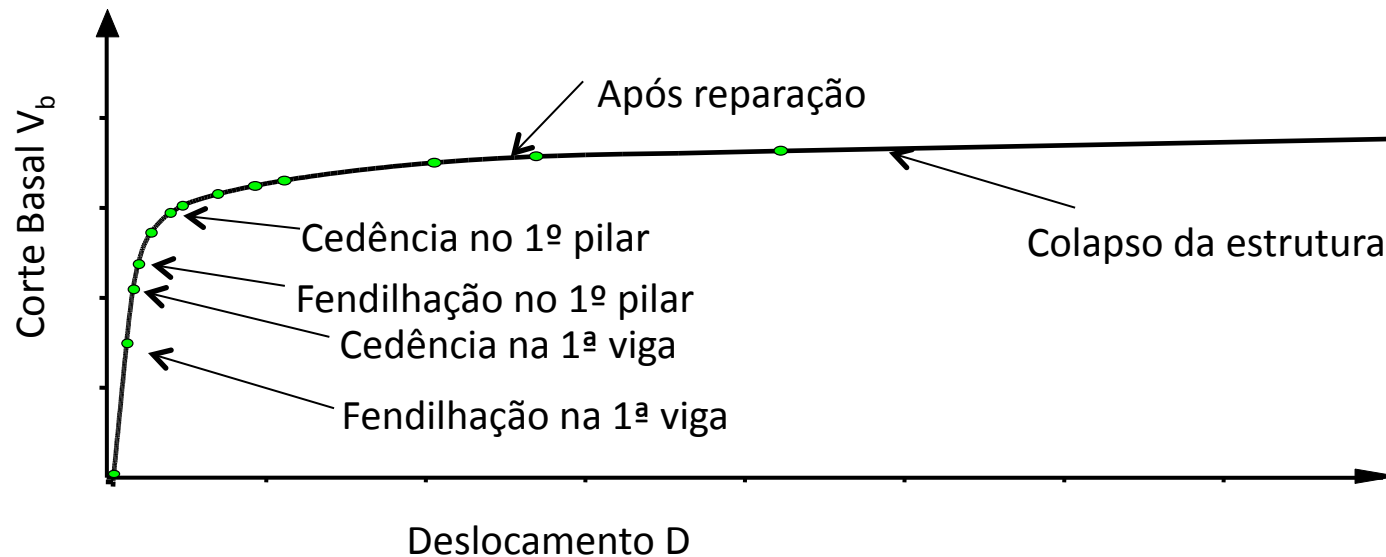
---

- ❑ Nos últimos anos generalizou-se a ideia que um bom comportamento sísmico seria garantido com maior sucesso se fosse controlado o nível de deslocamentos, local e global, da estrutura.
- ❑ Novos processos de dimensionamento sísmico começaram a ser propostos por diversos autores: **Análises Estáticas Não Lineares** com controle de deslocamentos ('Pushover') e Dimensionamento Sísmico por controle de deslocamentos ('Displacement Based Design')
- ❑ **Análises dinâmicas não lineares** são consideradas as melhores, conhecendo-se no entanto as maiores desvantagens: complexas e não apropriadas para o dimensionamento prático de estruturas.



## INTRODUÇÃO - ANÁLISES ESTÁTICAS NÃO LINEARES

- ❑ Considera o comportamento não linear da estrutura.
- ❑ Relaciona a resposta global da estrutura com uma estrutura equivalente de 1 GDL.
- ❑ Traça sequencialmente a cedência e colapso dos elementos, assim como a capacidade global da estrutura.





[www.cmm.pt](http://www.cmm.pt)



## INTRODUÇÃO - ANÁLISES ESTÁTICAS NÃO LINEARES

---

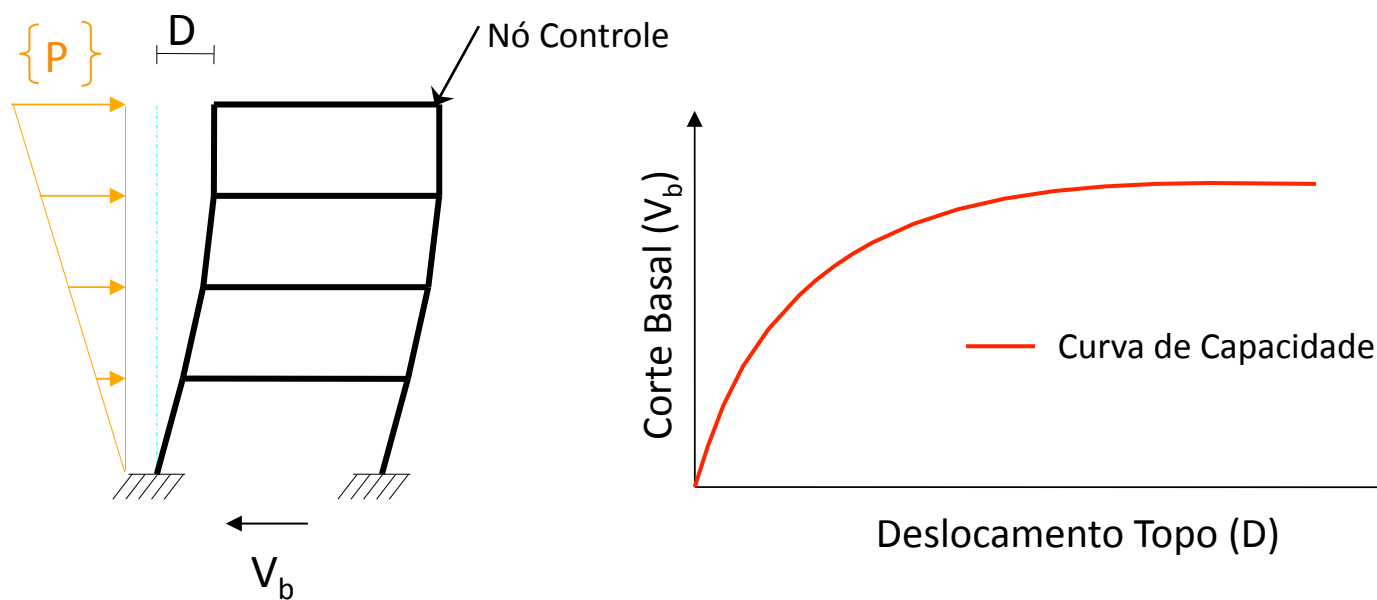
- Considera o comportamento monotónico fisicamente não linear da estrutura.
- Relaciona a resposta global da estrutura com uma estrutura equivalente de 1 GDL.
- Traça sequencialmente a cedência e colapso dos elementos, assim como a capacidade global da estrutura.
- Permite a avaliação adequada do desempenho sísmico para diferentes estados limites.
- Estes procedimentos começam a ser propostos nos regulamentos sísmicos (EC8).



## INTRODUÇÃO - ANÁLISES ESTÁTICAS NÃO LINEARES

### Fases Principais do Processo de Cálculo:

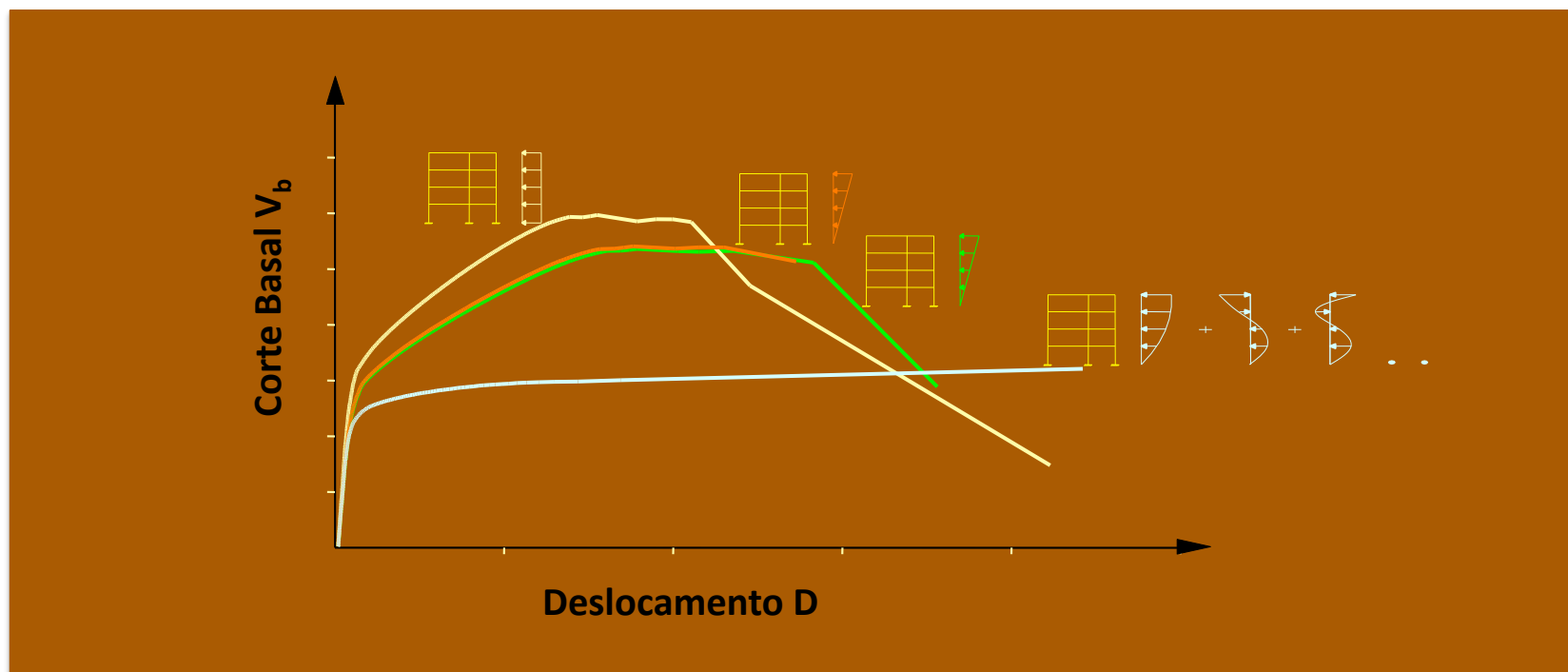
1. Definição da capacidade resistente estrutural, aplicando incrementalmente cargas ou deslocamentos





## ANÁLISES ESTÁTICAS NÃO LINEARES

- ❑ Diferentes níveis de sofisticação podem ser usados, relativamente à distribuição de forças a utilizar.

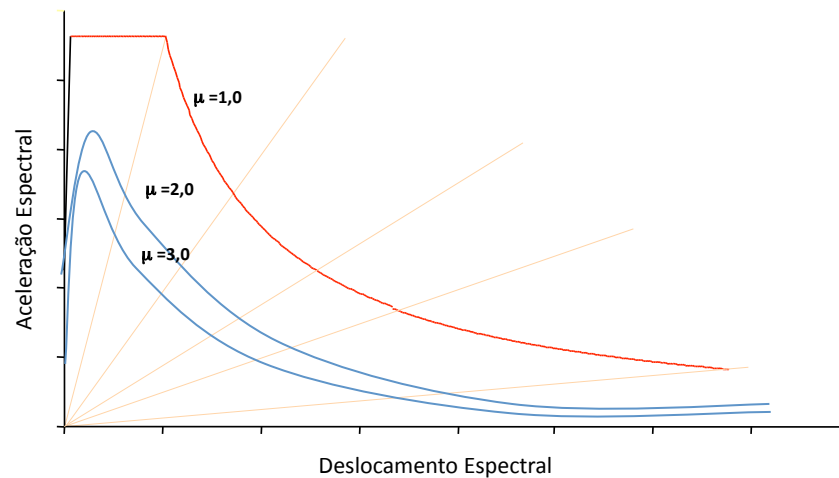




## INTRODUÇÃO - ANÁLISES ESTÁTICAS NÃO LINEARES

### Fases Principais do Processo de Cálculo:

1. Definição da capacidade resistente estrutural, aplicando incrementalmente cargas ou deslocamentos
2. Definição da acção sísmica em termos de acelerações espectrais  $S_a$  e deslocamentos espectrais  $S_d$ , atendendo ao comportamento não linear da estrutura

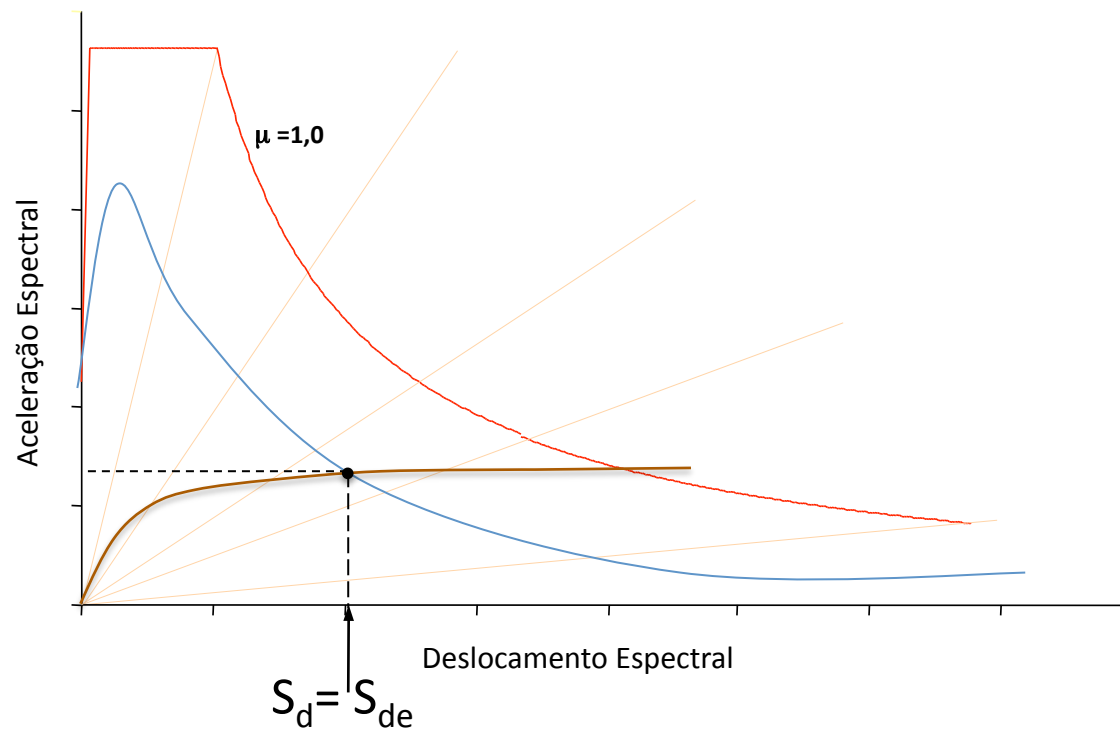




## INTRODUÇÃO - ANÁLISES ESTÁTICAS NÃO LINEARES

### Fases Principais do Processo de Cálculo:

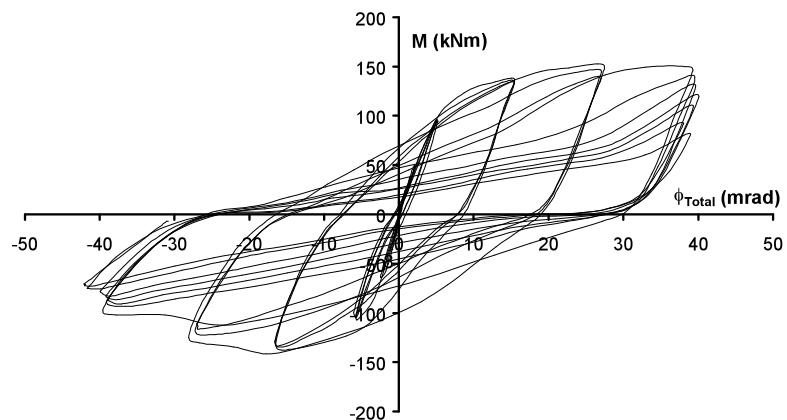
3. Cálculo do ponto de desempenho ('performance point') ou do deslocamento sísmico ('target displacement')



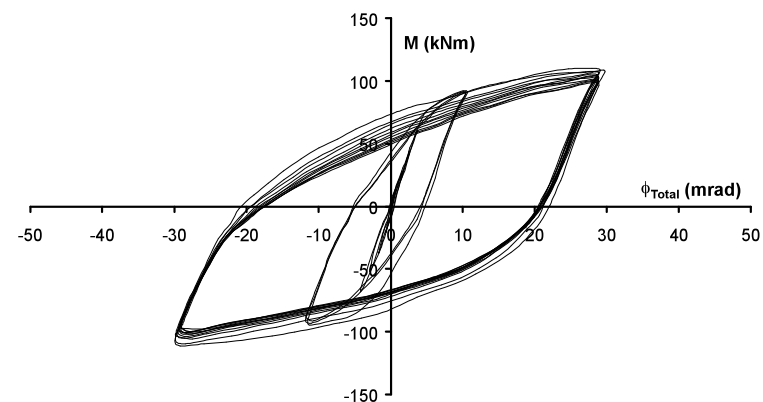


## INTRODUÇÃO – ANÁLISES DINÂMICAS NÃO LINEARES

- ❑ Considera o comportamento dinâmico fisicamente não linear da estrutura.



Curva **histerética** de uma ligação metálica **com deslizamento**

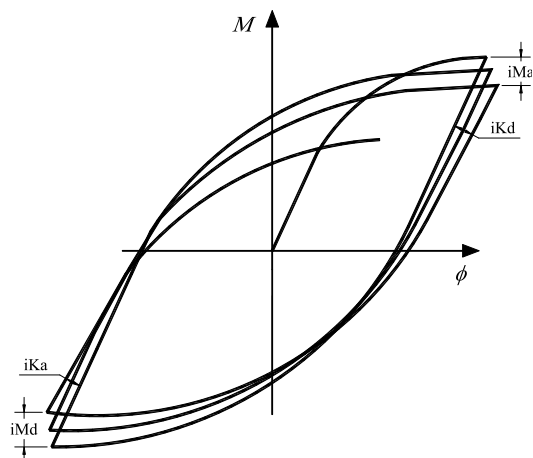


Curva **histerética** de uma ligação metálica **sem deslizamento**

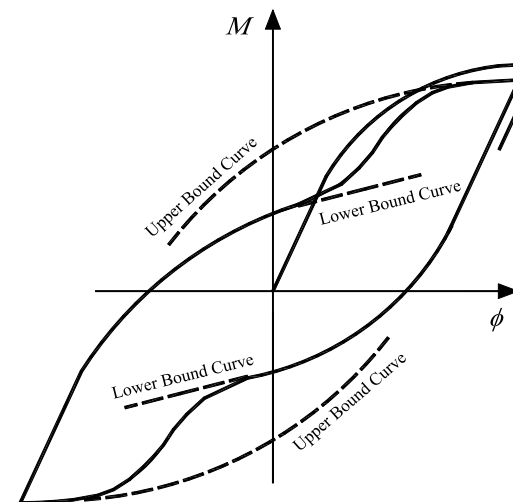


## INTRODUÇÃO – ANÁLISES DINÂMICAS NÃO LINEARES

- ❑ Considera o comportamento dinâmico fisicamente não linear da estrutura.



Modelo Richard-Abbott **sem 'pinching'**



Modelo Richard-Abbott **com 'pinching'**

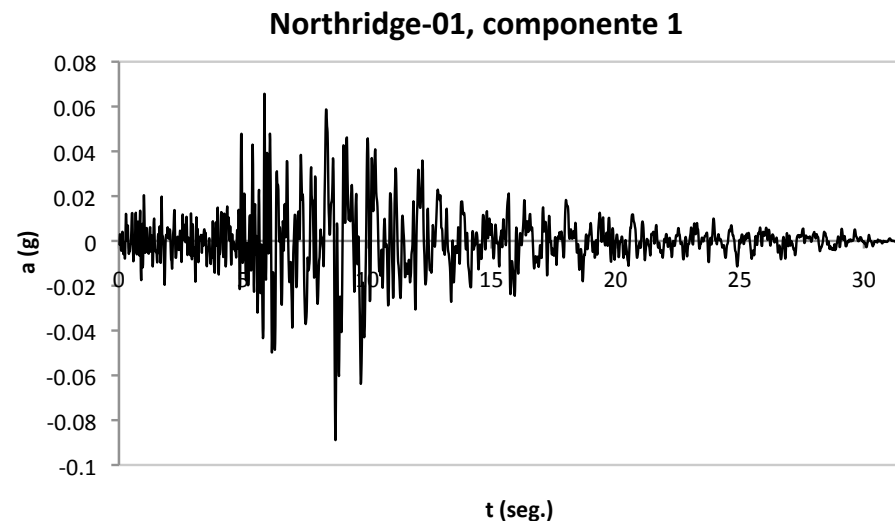


## INTRODUÇÃO – ANÁLISES DINÂMICAS NÃO LINEARES

- ❑ Considera o comportamento dinâmico fisicamente não linear da estrutura.
- ❑ Resolve a equação de equilíbrio dinâmico a partir de métodos de integração numérica - integração directa da equação (passo-a-passo):

$$M \ddot{U} + C \dot{U} + K U = P(t) = M \ddot{U}_{\text{solo}}(t)$$

- ❑ A acção sísmica é definida a partir de acelerogramas:





[www.cmm.pt](http://www.cmm.pt)



## ANÁLISES ESTÁTICAS NÃO LINEARES - VANTAGENS

---

- Baseada no controle de deslocamentos, global ou local
- Evita a utilização de um coeficiente de comportamento
- Boas estimativas da resposta sísmica para estruturas que vibram principalmente num modo
- Fornece informação sobre as características da estrutura, que não se obtêm em análises elásticas:
  - Define a ductilidade da estrutura
  - Identifica as regiões críticas da estrutura, que exigem um dimensionamento mais pormenorizado
  - Avalia a resistência da estrutura e identifica as discontinuidades de resistência em planta e altura.....



[www.cmm.pt](http://www.cmm.pt)



## ANÁLISES ESTÁTICAS NÃO LINEARES – LIMITAÇÕES DOS MÉTODOS CONVENCIONAIS

- ❑ Mais adequada para estruturas baixas e com frequências elevadas
- ❑ Admite que a deformada da estrutura não varia ao longo do tempo (regulamentos sugerem a utilização de mais do que uma distribuição de forças lateral – EC8)
- ❑ Os métodos regulamentares/convencionais têm dificuldade de modelar adequadamente as deformações quando os modos de vibração mais elevados são importantes e/ou a estrutura entra em regime significativamente não linear
- ❑ Detecta inadequadamente as concentrações de danos locais, responsáveis pela alteração da resposta modal
- ❑ Sendo uma análise estática despreza a dissipação de energia associada com a resposta dinâmica: energia cinética, amortecimento viscoso e os efeitos de duração
- ❑ Dificuldade de reproduzir efeitos dinâmicos particulares, de incorporar efeitos 3D e efeitos do carregamento cíclico do sismo



## ANÁLISES DINÂMICAS NÃO LINEARES – VANTAGENS E LIMITAÇÕES

---

### VANTAGENS

- Estes métodos são os únicos capazes de considerar a variação da rigidez e do amortecimento ao longo do tempo, atendendo ao comportamento fisicamente não linear dos materiais/estrutura
- Modelam o comportamento não linear das estruturas de forma adequada – os resultados obtidos são considerados os de referência

### LIMITAÇÕES

- Maior complexidade e exigem um esforço computacional elevado
- Dificuldades associadas à caracterização adequada da acção sísmica



[www.cmm.pt](http://www.cmm.pt)



## AVALIAÇÃO DE DESEMPENHO SÍSMICO COM BASE NO MÉTODO N2 PROPOSTO NO EC8

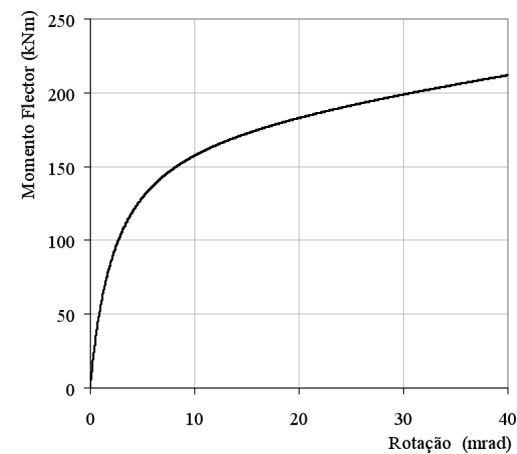
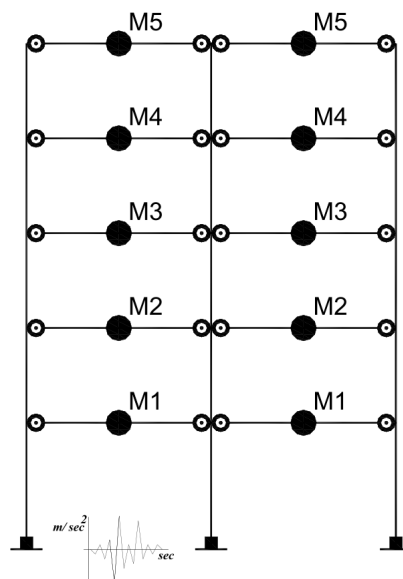
---

# N - 2



## MÉTODO N2 - Passos

1. Modelação da estrutura atendendo ao **comportamento não linear** de todos os seus elementos estruturais

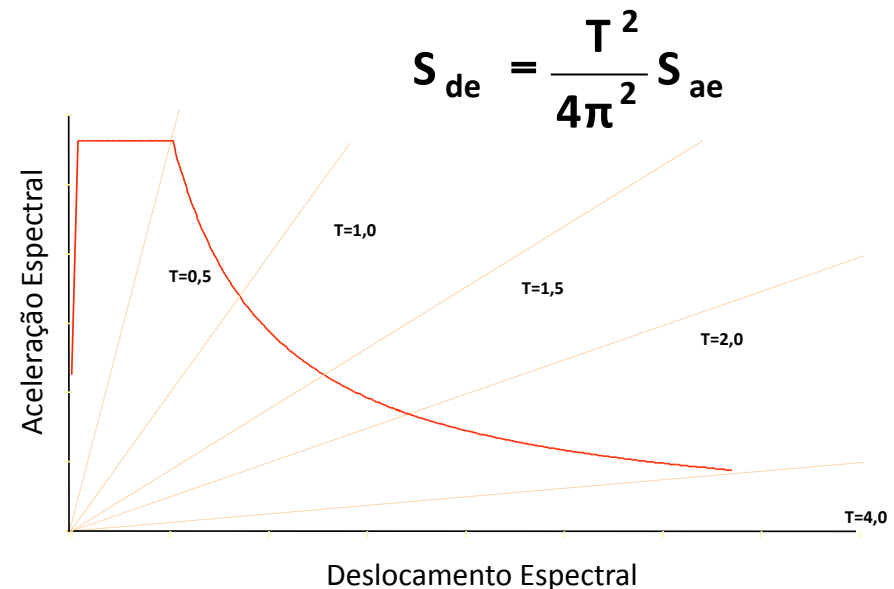
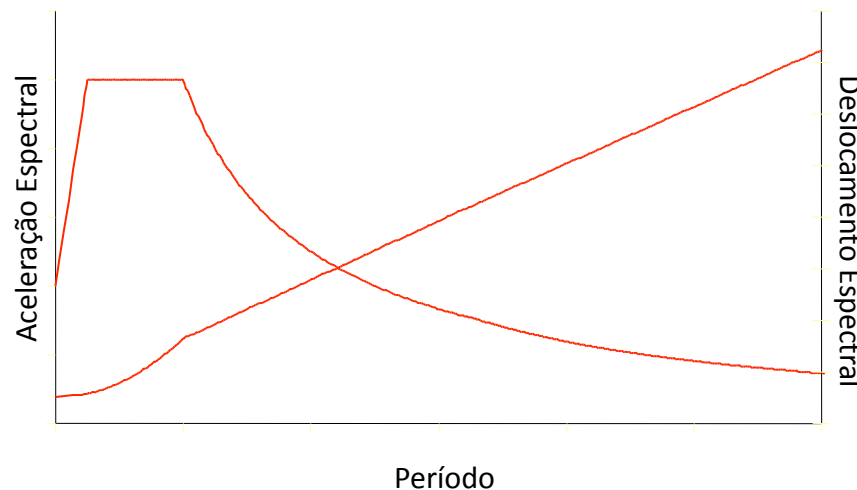




## MÉTODO N2 - Passos

1. Modelação da estrutura atendendo ao **comportamento não linear** de todos os seus elementos estruturais
2. Definição da Acção Sísmica

### 2.1 Determina-se o Espectro Elástico no formato ADRS

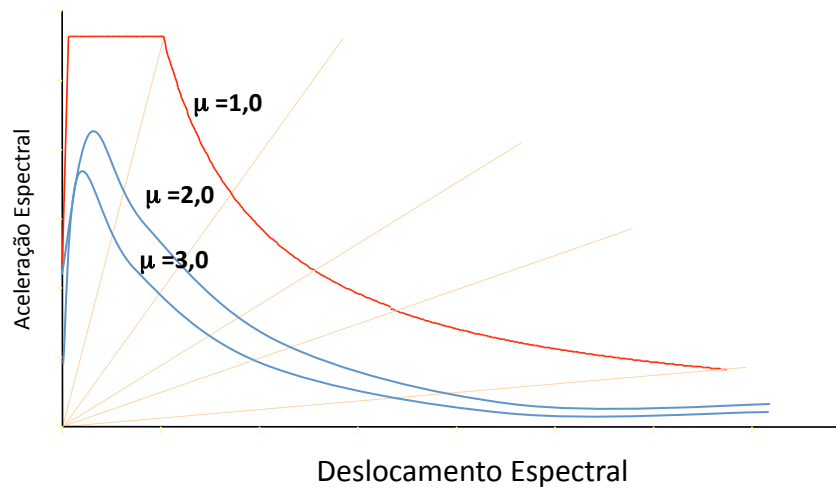


$$S_{de} = \frac{T^2}{4\pi^2} S_{ae}$$



## MÉTODO N2 - Passos

1. Modelação da estrutura atendendo ao **comportamento não linear** de todos os seus elementos estruturais
2. Definição da Acção Sísmica
  - 2.1 Determina-se o Espectro Elástico no formato ADRS
  - 2.2 Determina-se o Espectro Inelástico no formato ADRS



$$S_a = \frac{S_{ae}}{R_\mu} \quad S_d = \mu S_{dy}$$

$$R_\mu = (\mu - 1) \frac{T}{T_c} + 1 \quad T < T_c$$

$$R_\mu = \mu \quad T \geq T_c$$

$$S_d = \mu \frac{T^2}{4\pi^2} S_a$$



## MÉTODO N2 - Passos

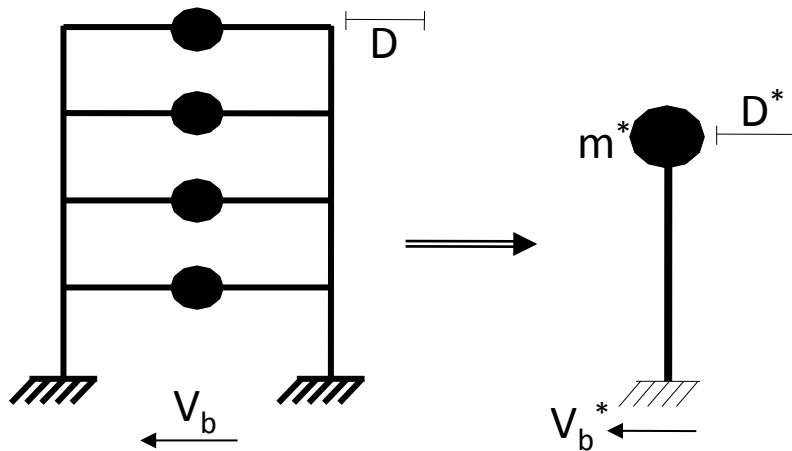
3. Recorre-se à **Análise Pushover** e define-se a **Curva de Capacidade Resistente**

3.1 Assume-se a forma da deformada  $\{\phi\}$

3.2 Determina-se a distribuição vertical das forças laterais  $\{P\} = [M] \{\phi\}$

3.3 Define-se a curva  $V_b - D$ , aumentando monotonicamente uma distribuição de forças lateral

4. Definição do sistema de **1GL** equivalente



$$m^* = \sum m_i \phi_i$$

$$V_b^* = \frac{V_b}{\Gamma} \quad \Gamma = \frac{m^*}{\sum m_i \phi_i^2}$$

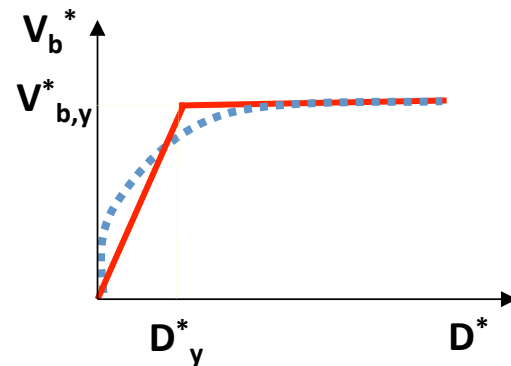
$$D^* = \frac{D}{\Gamma}$$



## MÉTODO N2 - Passos

### 4. Definição do sistema de **1GL** equivalente

- Definir uma relação aproximada Força – Deslocamento elasto-plástica e determinar  $V_{b,y}^*$  e  $D_y^*$  e  $T^*$



$$T^* = 2\pi \sqrt{\frac{m^* D_y^*}{V_{b,y}^*}}$$

- Determinar o diagrama de capacidade (Aceleração vs Deslocamento)

$$S_a = \frac{V_b^*}{m^*}$$



## MÉTODO N2 - Passos

### 5. Desempenho sísmico do sistema 1GL

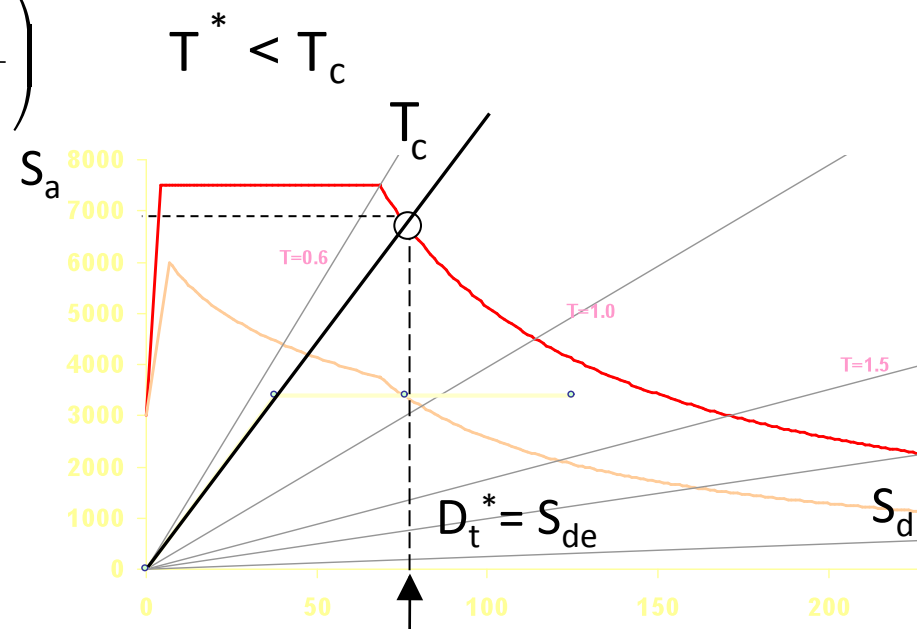
- Determinar o factor de redução  $R_\mu$

$$R_\mu = \frac{S_{ae}}{S_{ay}}$$

- Determinar o deslocamento  $D_t^* = S_d$

$$D_t^* = \frac{S_{de}}{R_\mu} \left( 1 + (R_\mu - 1) \frac{T_c}{T^*} \right) \quad T^* < T_c$$

$$D_t^* = S_{de} \quad T^* > T_c$$





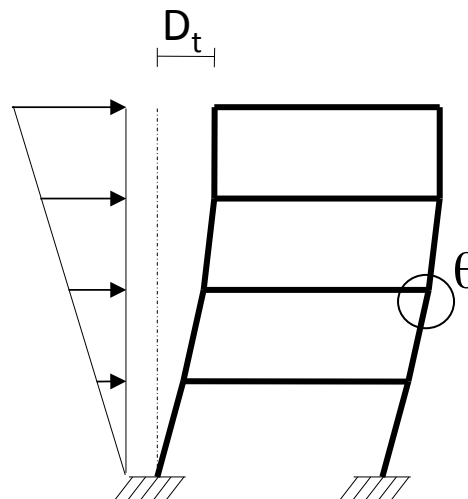
## MÉTODO N2 - Passos

### 6. Desempenho sísmico do sistema nGL

- Cálculo do deslocamento de topo da estrutura de nGL

$$D_t = \Gamma D_t^*$$

- Recorrer a uma análise estática, aumentando monotonicamente as cargas, até atingir  $D_t$  (ou um múltiplo deste)
- Cálculo de quantidades locais, como rotações  $\theta$ , deslocamentos relativos....





[www.cmm.pt](http://www.cmm.pt)



## MÉTODO N2 - Passos

---

### 6. Desempenho sísmico do sistema **nGL**

- Cálculo do deslocamento de topo da estrutura de **nGL**

$$D_t = \Gamma S_d$$

- Recorrer a uma análise estática, aumentando monotonicamente as cargas, até atingir  $D_t$  (ou um múltiplo deste) relativos....
- Cálculo de quantidades locais, como rotações  $\theta$ , deslocamentos relativos....

7. O desempenho sísmico estrutural, correspondente ao deslocamento  $D_t$  (ou um múltiplo deste), é comparado com os valores resistentes propostos



[www.cmm.pt](http://www.cmm.pt)



## N2 – LIMITAÇÕES adicionais

---

- ❑ **A regra de ‘deslocamentos iguais’** (elástico e inelástico) é adequada para estruturas com o período fundamental médio e longo e solos firmes, com ciclos histeréticos relativamente estáveis – valores de deslocamentos inelásticos ligeiramente conservativos
- ❑ **A regra de ‘deslocamentos iguais’** conduz a deslocamentos inelásticos muito pequenos quando a estrutura está sujeita a sismos próximos, os ciclos histeréticos são caracterizados pelo efeito de aperto (‘pinching’) ou por significativa degradação de resistência e de rigidez
- ❑ **A regra de ‘deslocamentos iguais’** não é adequada para solos moles – nestes casos um espectro inelástico modificado deve ser usado ou, alternativamente, usar factor correctivos para o cálculo de deslocamentos



[www.cmm.pt](http://www.cmm.pt)



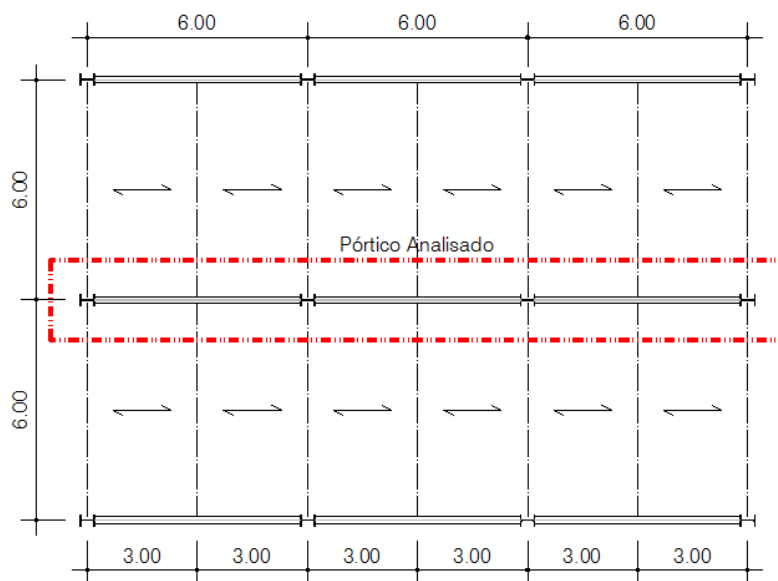
## EXEMPLO DE APLICAÇÃO

---

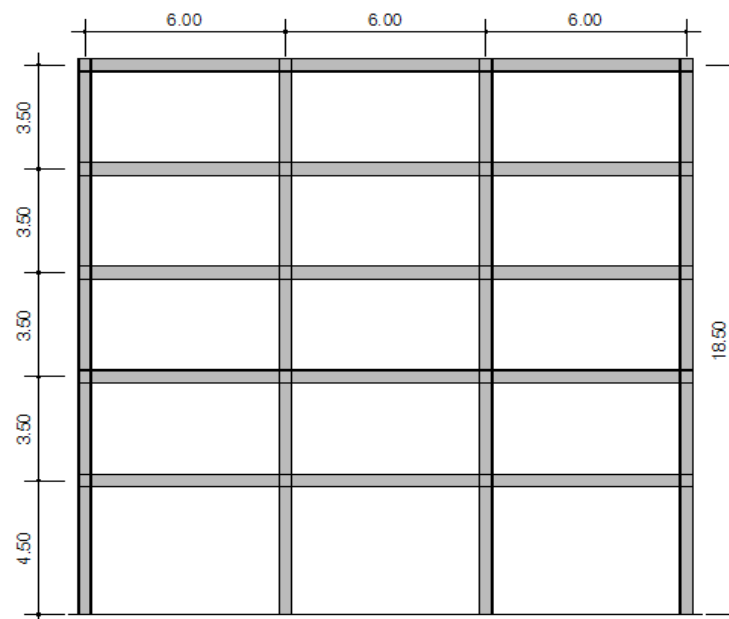
# Pórtico Metálico de Ligações Rígidas



## EXEMPLO DE APLICAÇÃO



Planta da Estrutura Metálica



Pórtico Analisado



[www.cmm.pt](http://www.cmm.pt)



## EXEMPLO DE APLICAÇÃO

---

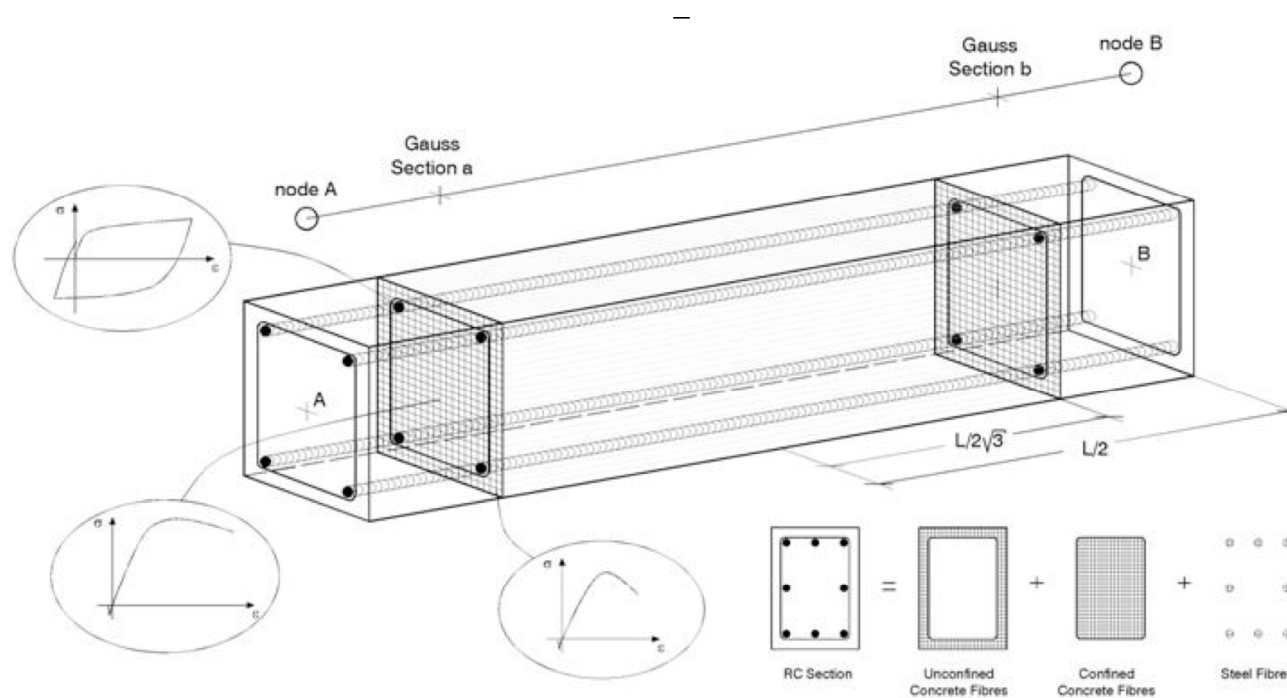
### 1. MODELAÇÃO DA ESTRUTURA

- As análises foram efectuadas no **OpenSees v2.2**
- Elementos de fibras (2 elementos por viga e 1 por pilar) com uma formulação em forças (7 pontos de Gauss)
- Ligações rígidas entre as vigas e os pilares. Comportamento não-linear ao nível destes elementos.
- Modelação do material: modelo elasto-plástico bi-linear com 1% de endurecimento



## EXEMPLO DE APLICAÇÃO

### 1. MODELAÇÃO DA ESTRUTURA





[www.cmm.pt](http://www.cmm.pt)



## EXEMPLO DE APLICAÇÃO

---

### 1. MODELAÇÃO DA ESTRUTURA

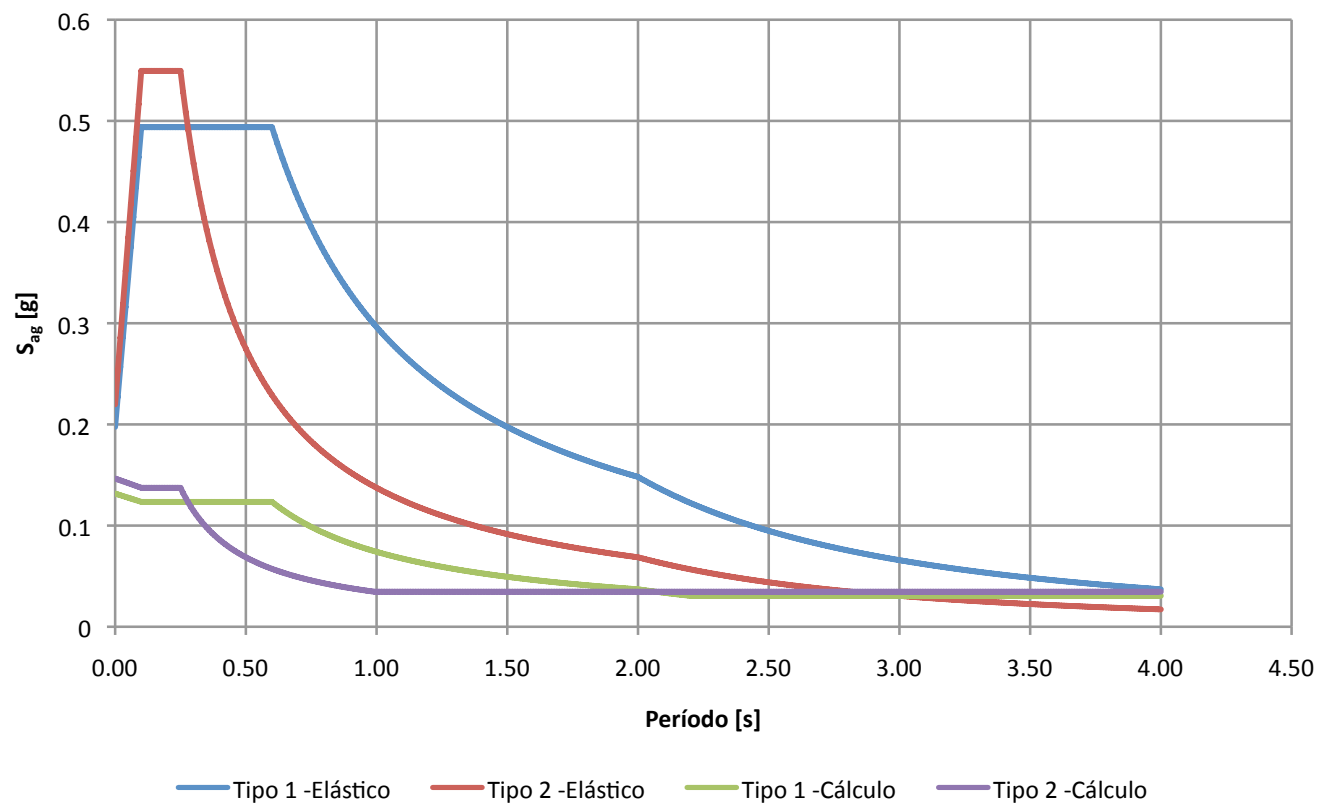
- No OpenSees as secções metálicas não estão discretizadas com as zonas arredondadas entre a alma e os banzos
- As secções extremas das vigas são modeladas com uma rigidez de flexão igual a 95% da rigidez real
- => Redução do  $M_{pl}$  em  $\pm 5\%$



## EXEMPLO DE APLICAÇÃO

### 2. DEFINIÇÃO DA ACÇÃO SÍSMICA - Espectro Elástico (0,15g)

Espectros de Resposta



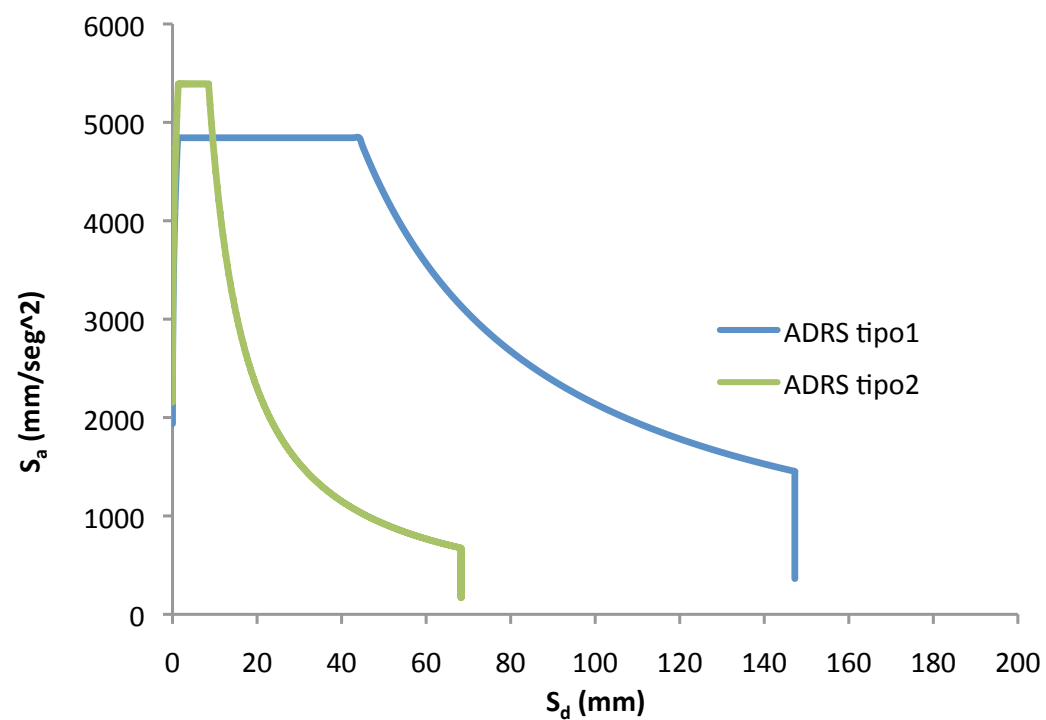


[www.cmm.pt](http://www.cmm.pt)



## EXEMPLO DE APLICAÇÃO

### 2. DEFINIÇÃO DA ACÇÃO SÍSMICA – Espectro elástico no formato ADRS



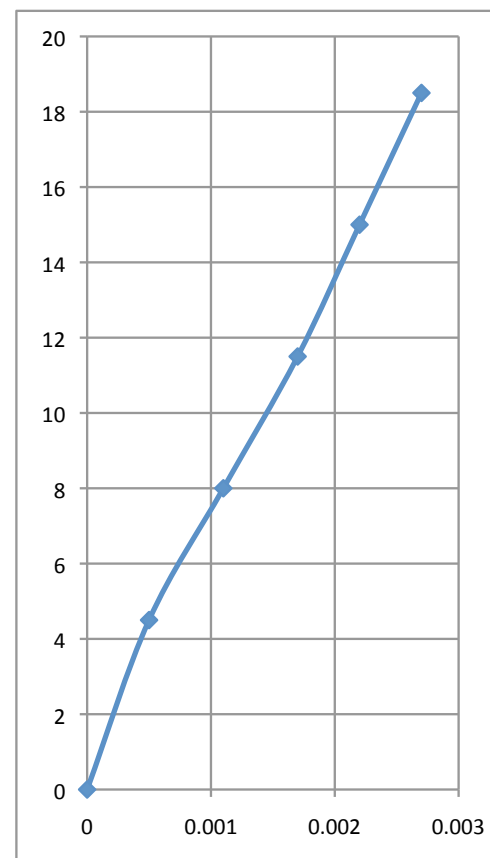


## EXEMPLO DE APLICAÇÃO

### CARACTERIZAÇÃO DINÂMICA

1º Modo de Vibração  $\phi$

$h_i$ (m)	$\phi$
0	0
4.5	0.0005
8	0.0011
11.5	0.0017
15	0.0022
18.5	0.0027



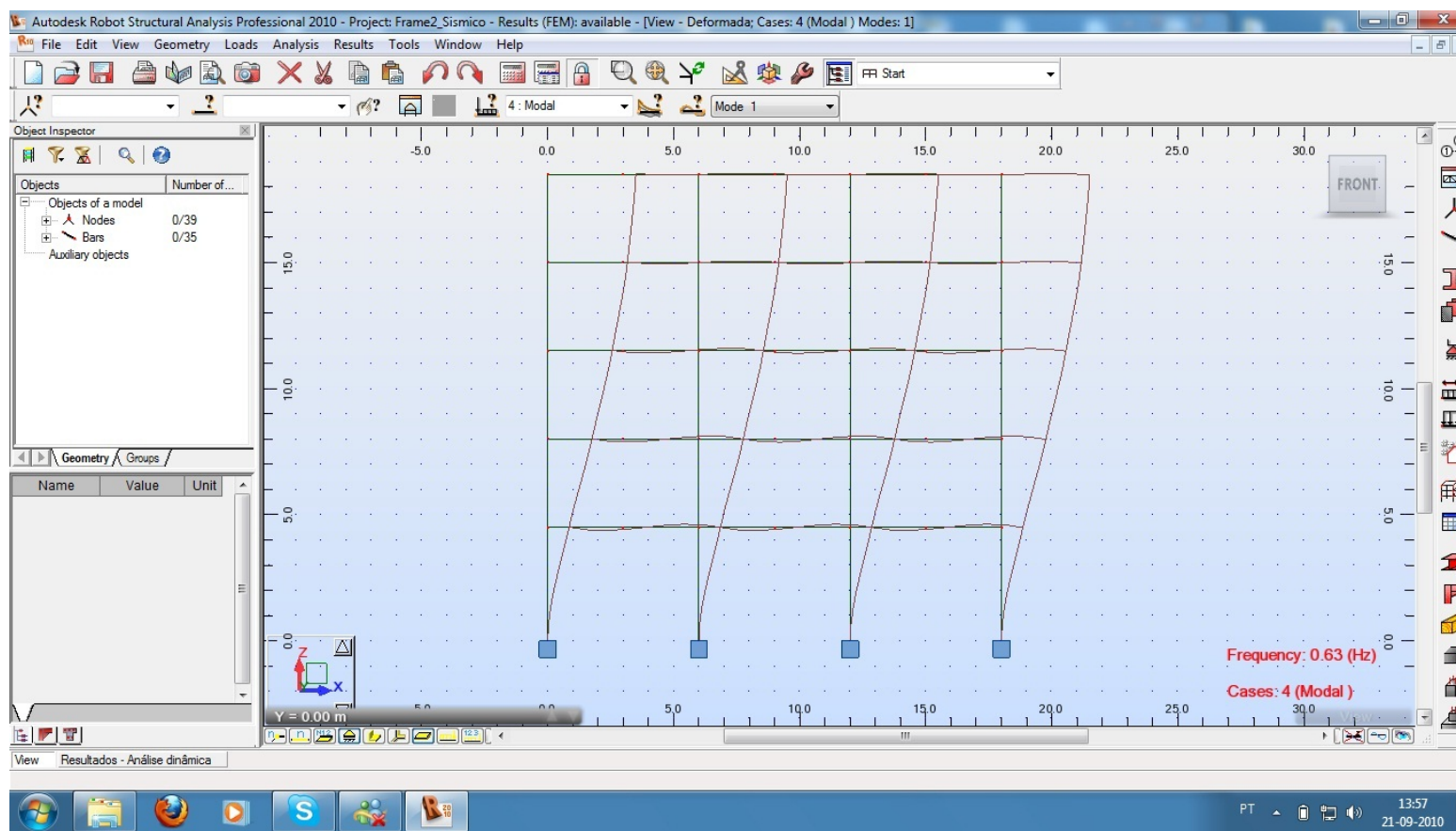


www.cmm.pt



## EXEMPLO DE APLICAÇÃO

### CARACTERIZAÇÃO DINÂMICA – Estrutura Inicial



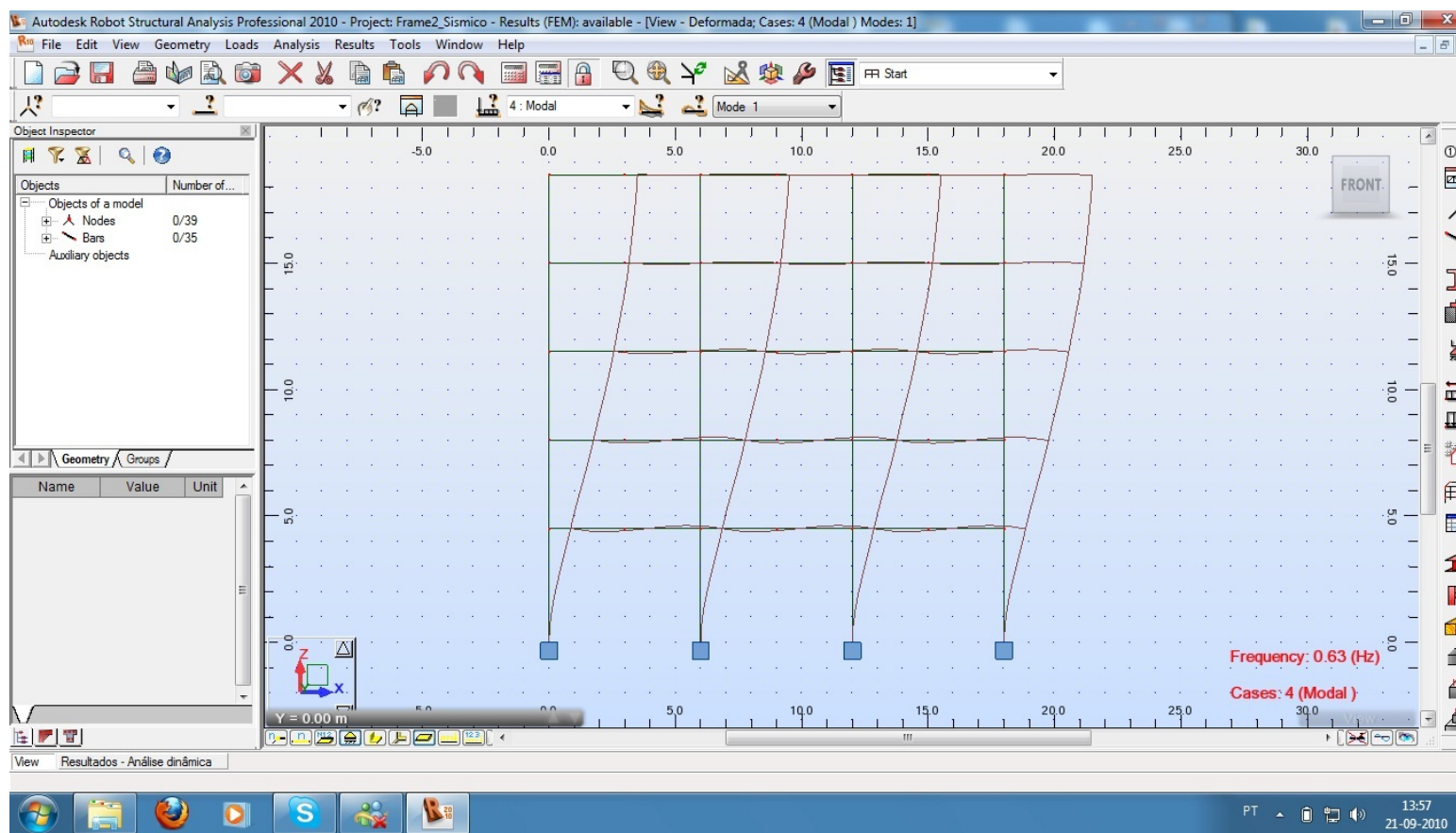


www.cmm.pt



## EXEMPLO DE APLICAÇÃO

### CARACTERIZAÇÃO DINÂMICA – Estrutura Final



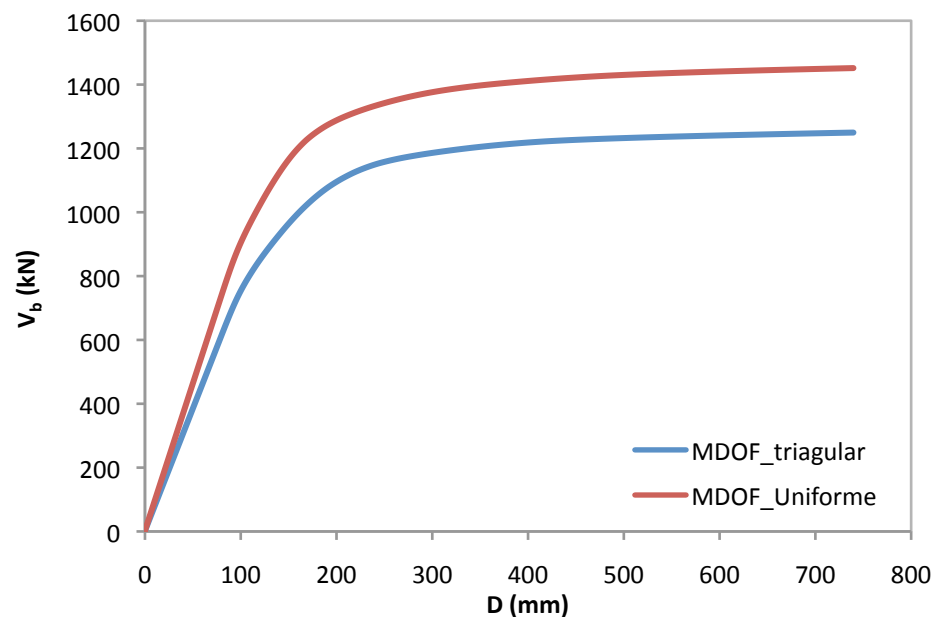


## EXEMPLO DE APLICAÇÃO

### 3. ANÁLISE *PUSHOVER*

As análises *Pushover* foram efectuadas com um padrão uniforme e com um padrão de forças proporcional à massa e à configuração do primeiro modo de vibração

Curvas de Capacidade Resistente





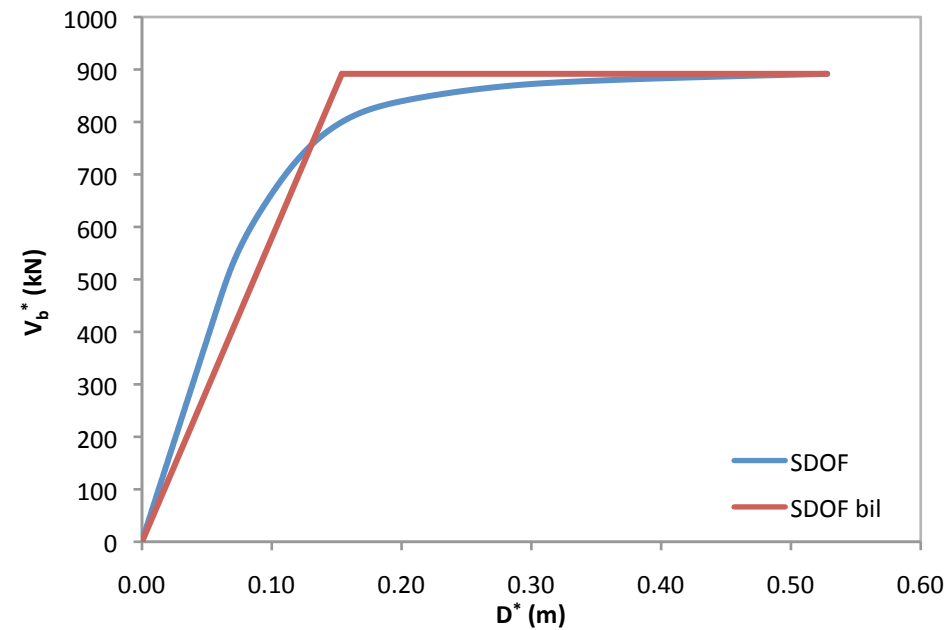
## EXEMPLO DE APLICAÇÃO

### 4. DEFINIÇÃO DO SISTEMA DE 1GL EQUIVALENTE

$$m^* = \sum m_i \phi_i = 130,58$$

$$\Gamma = \frac{m^*}{\sum m_i \phi_i^2} = 1,401$$

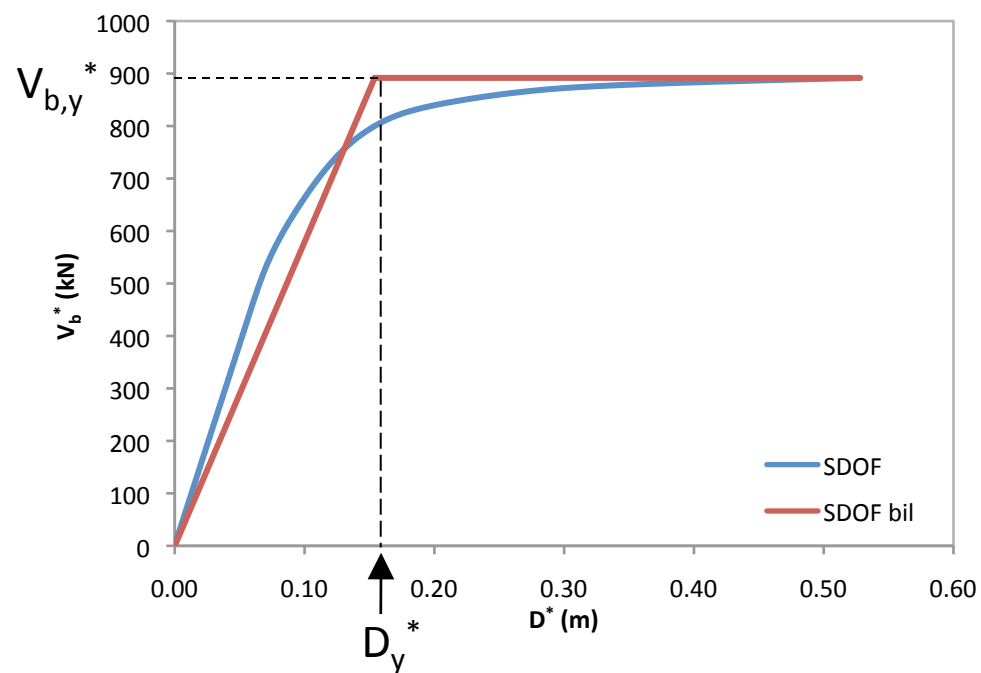
$$V_b^* = \frac{V_b}{\Gamma} \quad D^* = \frac{D}{\Gamma}$$





## EXEMPLO DE APLICAÇÃO

### 4. DEFINIÇÃO DO SISTEMA DE 1GL EQUIVALENTE



$$V_{b,y}^* = 891,7 \text{ kN}$$

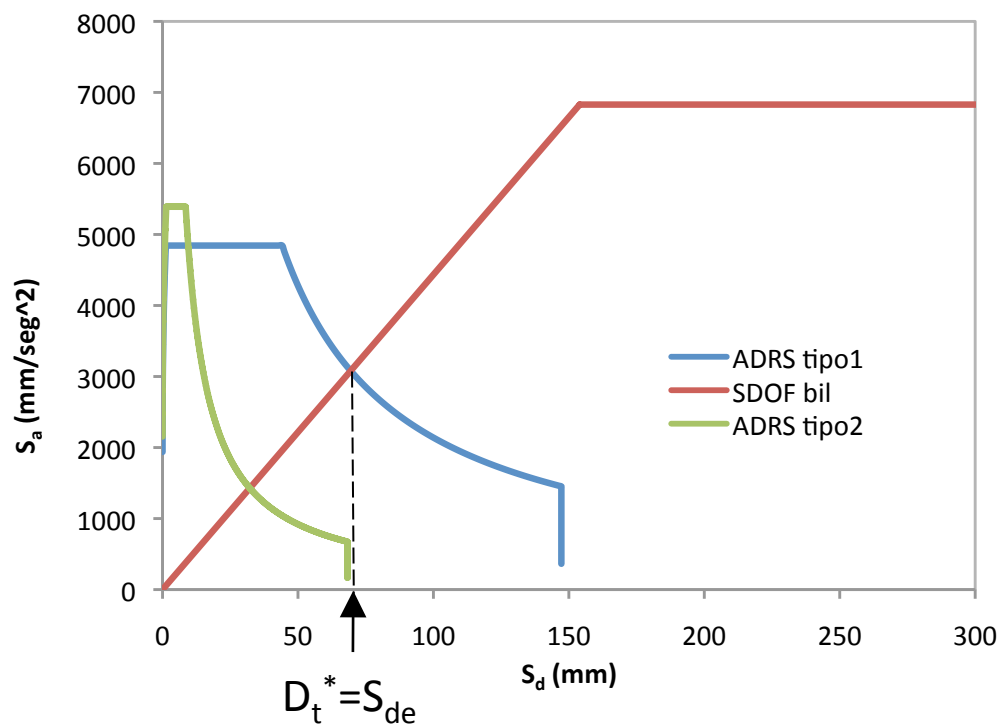
$$D_y^* = 0,154 \text{ m}$$

$$T^* = 2\pi \sqrt{\frac{m^* D_y^*}{V_{b,y}^*}} = 0,944 \text{ seg}$$



## EXEMPLO DE APLICAÇÃO

### 5. DESEMPENHO SÍSMICO DO SISTEMA 1GL



$$D_t^* = 0,07 \text{ m}$$

### 6. DESEMPENHO SÍSMICO DO SISTEMA nGL

$$D_t = \Gamma D_t^* = 0,0974 \text{ m}$$

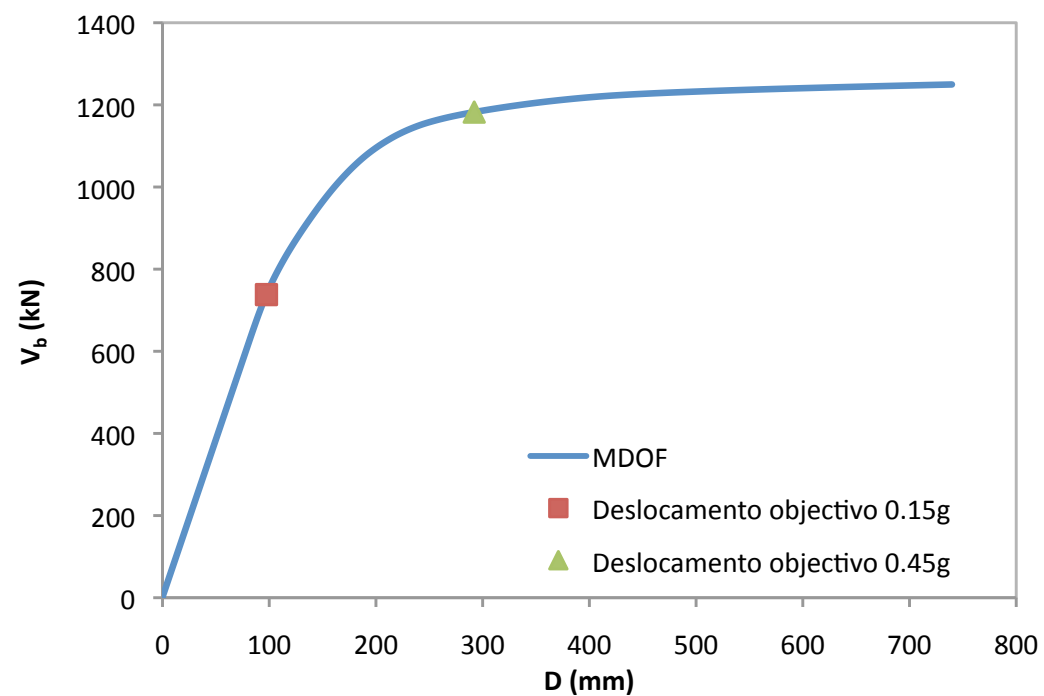


[www.cmm.pt](http://www.cmm.pt)



## EXEMPLO DE APLICAÇÃO

DESLOCAMENTO OBJECTIVO DO PÓRTICO PARA 0,15g E 0,45g



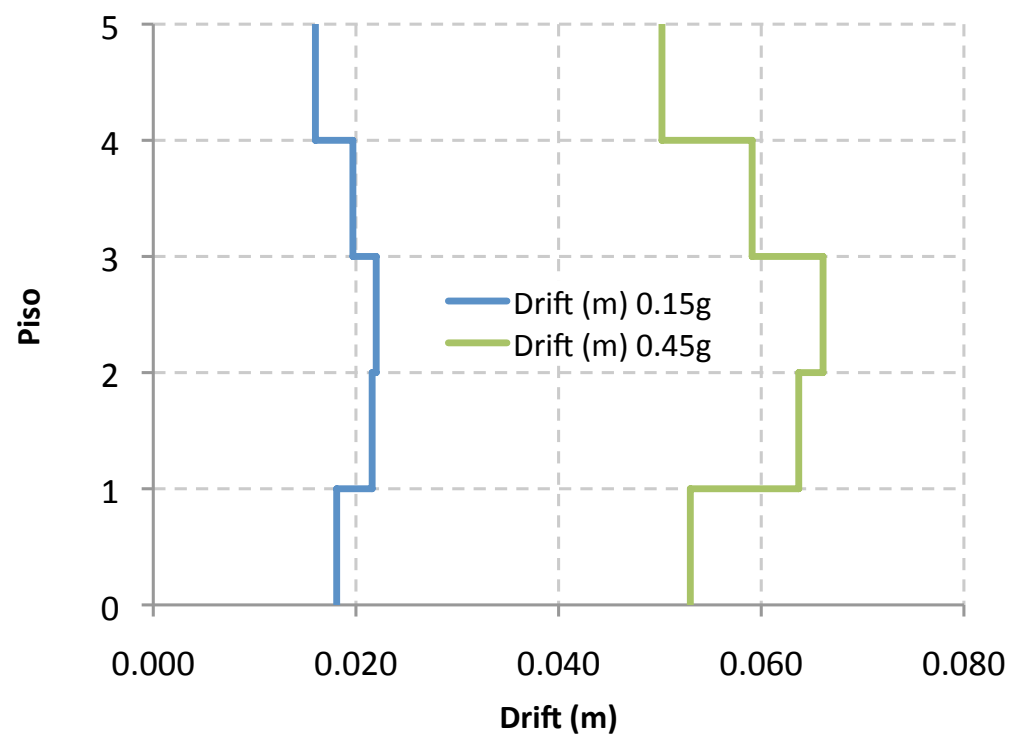


[www.cmm.pt](http://www.cmm.pt)



## EXEMPLO DE APLICAÇÃO

### AVALIAÇÃO SÍSMICA – Deslocamentos Relativos entre pisos



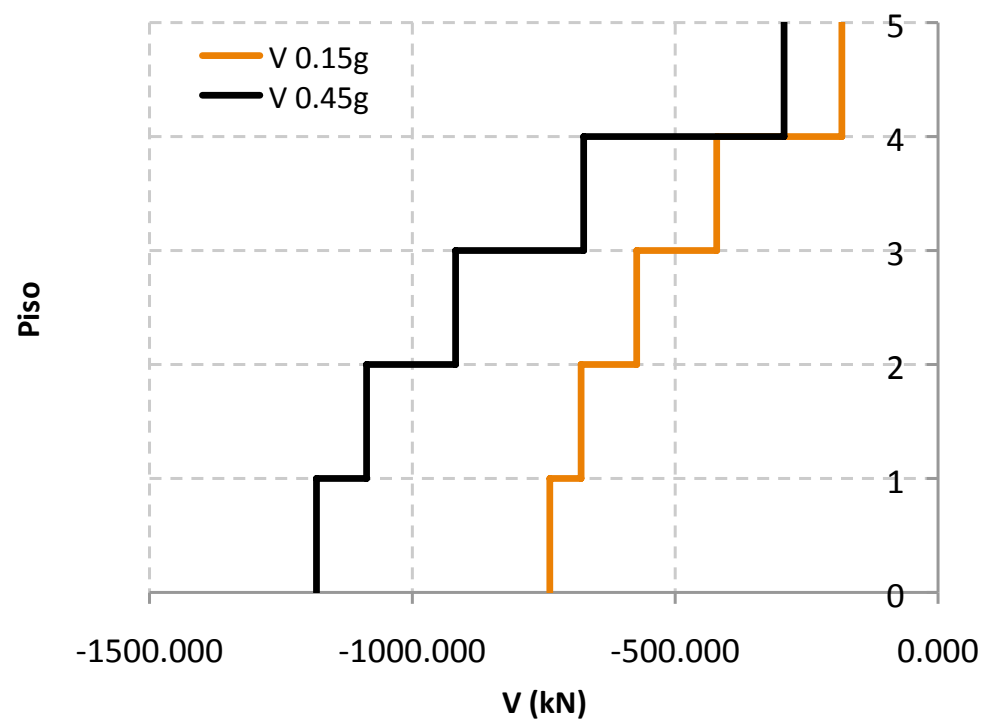


[www.cmm.pt](http://www.cmm.pt)



## EXEMPLO DE APLICAÇÃO

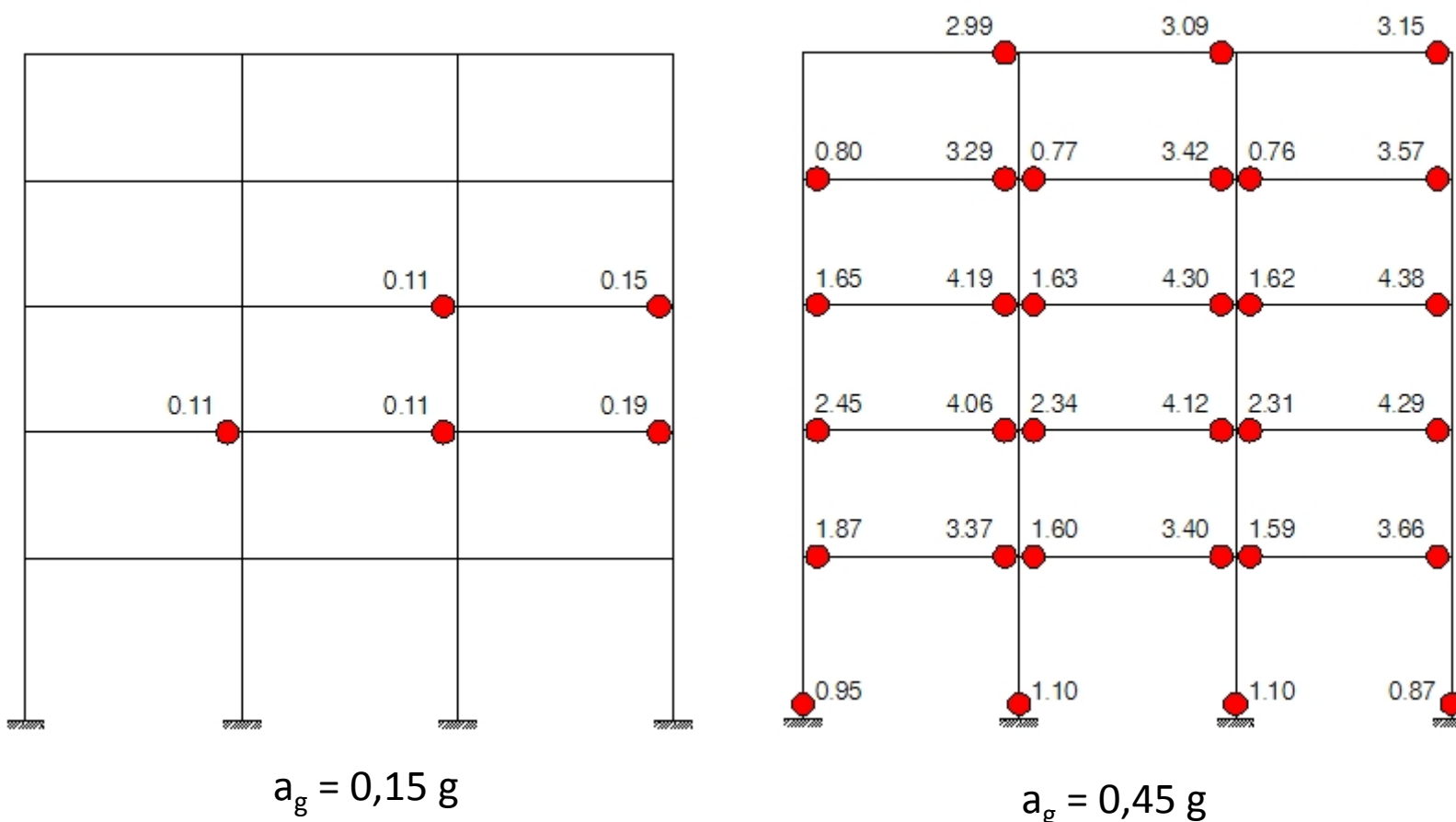
### AVALIAÇÃO SÍSMICA – Esforço Transverso





## EXEMPLO DE APLICAÇÃO

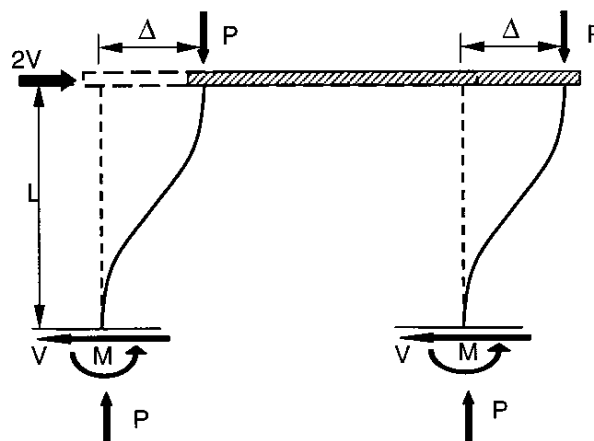
### AVALIAÇÃO SÍSMICA – Rotações não lineares





## EFEITOS P- $\Delta$

EFEITOS P- $\Delta$  sistema 1GL – Comparação do EC8 e da norma Americana



- Nos regulamentos de dimensionamento a consideração na análise dos efeitos P- $\Delta$  é baseada no cálculo do **coeficiente  $\theta$  de estabilidade por piso**
- Se  $\theta < 0,1$  então P- $\Delta$  pode ser **desprezado**. Se  $0,1 < \theta < 0,2$  então P- $\Delta$  tem que ser **considerado**  $[1/(1-\theta)]$

(by Peres e Castro, 2010)



## EFEITOS P-Δ

EFEITOS P-Δ nos regulamentos – Coeficiente de Estabilidade no EC8

$$\theta = \frac{P_{tot} \times d_r}{V_{tot} \times h}$$

$P_{tot}$  : Carga vertical cumulativa nos pilares do piso

$V_{tot}$  : Esforço transverso de dimensionamento do piso

$h$  : Altura do piso

$d_r$  : Deslocamento relativo inter-pisos

**Deslocamento relativo inter-pisos** → baseado na regra de **Igualdade de**

**Deslocamento:**  $d_s = q \times d_e$

$$\theta = \frac{P_{tot} \times (q \times d_e)}{V_{tot} \times h} = \frac{P_{tot} \times d_e}{V_{tot} \times h} \times q$$

(by Peres e Castro, 2010)



## EFEITOS P-Δ

EFEITOS P-Δ nos regulamentos – Coeficiente de Estabilidade no NEHPR

$$\theta = \frac{P_{tot} \times \Delta \times I}{V_{tot} \times h \times C_d}$$

$P_{tot}$  : Carga vertical cumulativa nos pilares do piso  
 $V_{tot}$  : Esforço transverso de dimensionamento do piso  
 $h$  : Altura do piso  
 $\Delta$  : Deslocamento de dimensionamento  
 $I$  : Factor de importância  
 $C_d$  : Factor de amplificação

Deslocamento ( $\Delta$ ) → definido multiplicando o deslocamento por um factor de amplificação ( $C_d$ ) →  $\Delta = \frac{C_d \times \delta_e}{I}$ , onde  $\delta_e$  é deslocamento elástico

$$\theta = \frac{P_{tot} \times \frac{C_d \times \delta_e}{I} \times I}{V_{tot} \times h_s \times C_d} = \frac{P_{tot} \times \delta_e}{V_{tot} \times h_s}$$

(by Peres e Castro, 2010)



## EFEITOS P-Δ

EFEITOS P-Δ nos regulamentos – Rigidez inicial e secante por piso

### •EC8

$$\theta = \frac{P_{tot} \times d_e}{V_{tot} \times h} \times q = \frac{P_{tot}}{\left( \frac{V_{tot}}{d_e \times q} \right) \times h} = \frac{P_{tot}}{\left( \frac{K_{el}}{q} \right) \times h} = \frac{P_{tot}}{K_{sec} \times h}$$

### •NEHRP

$$\theta = \frac{P_{tot} \times \delta_e}{V_{tot} \times h} = \frac{P_{tot}}{\left( \frac{V_{tot}}{\delta_e} \right) \times h} = \frac{P_{tot}}{K_{el} \times h}$$

(by Peres e Castro, 2010)



## EFEITOS P-Δ

(by Peres e Castro, 2010)

Numero de Pisos	Intensidade Sísmica	Valores máximos aceites para $\theta$	
5 Pisos (3 vãos)	PGA = 0.3g	$\theta_{NEHRP} < 0.1; \theta_{EC8} > 0.20$	Caso 1: 5 S_ NEHRP_ 0.3g
		$0.10 < \theta_{EC8} < 0.20$	Caso 2: 5 S_ EC8<0.2_ 0.3g
		$\theta_{EC8} < 0.10$	Caso 3: 5 S_ EC8<0.1_ 0.3g
	PGA = 0.4g	$\theta_{NEHRP} < 0.1; \theta_{EC8} > 0.20$	Caso 4: 5 S_ NEHRP_ 0.4g
		$0.10 < \theta_{EC8} < 0.20$	Caso 5: 5 S_ EC8<0.2_ 0.4g
		$\theta_{EC8} < 0.10$	Caso 6: 5 S_ EC8<0.1_ 0.4g
8 Pisos (3 vãos)	PGA = 0.3g	$\theta_{NEHRP} < 0.1; \theta_{EC8} > 0.20$	Caso 7: 8 S_ NEHRP_ 0.3g
		$0.10 < \theta_{EC8} < 0.20$	Caso 8: 8 S_ EC8<0.2_ 0.3g
		$\theta_{EC8} < 0.10$	Caso 9: 8 S_ EC8<0.1_ 0.3g

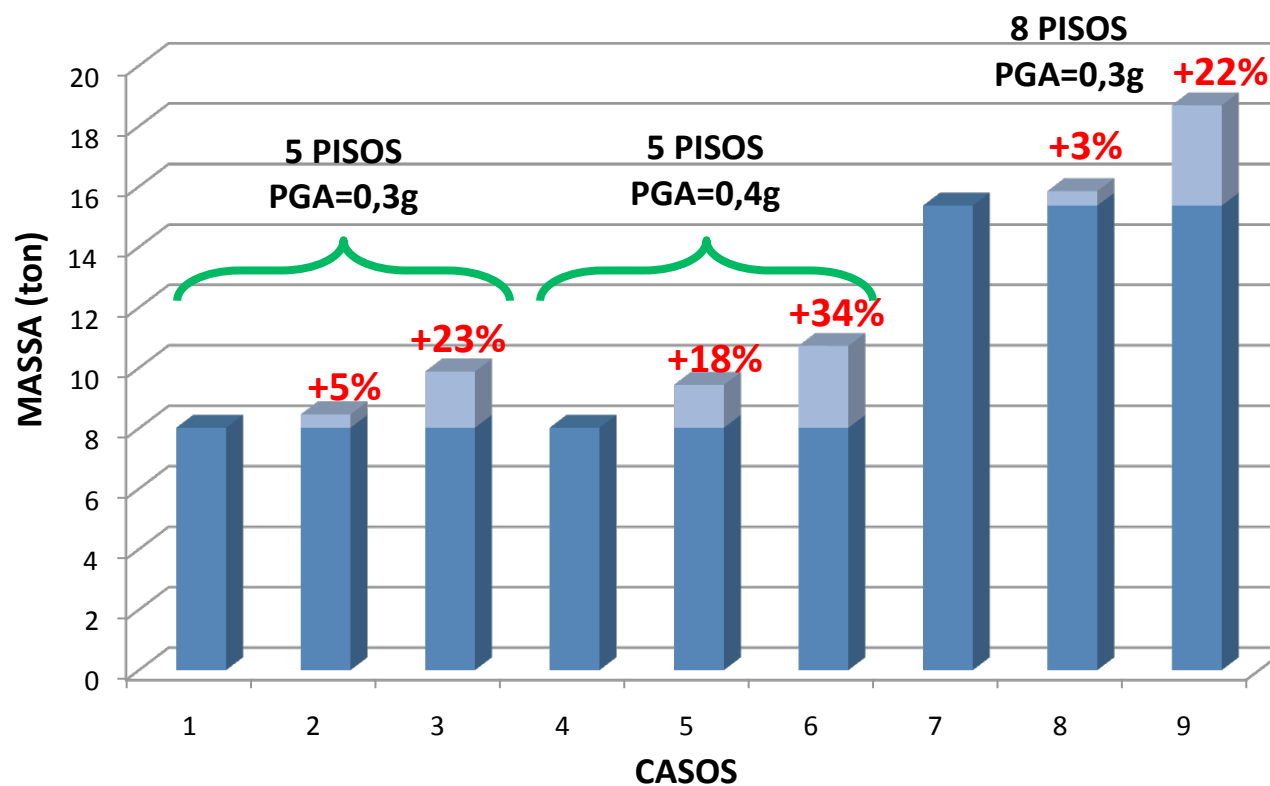


www.cmm.pt



## EFEITOS P-Δ

### ESTUDO PARAMÉTRICO – Comparação de Massas



(by Peres e Castro, 2010)



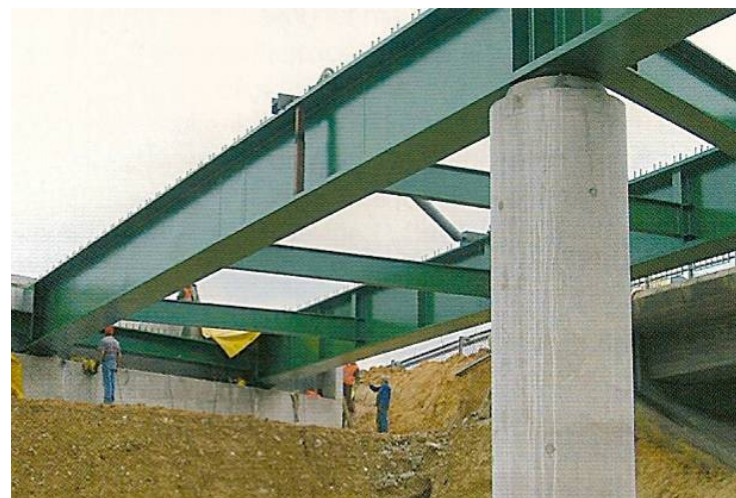
[www.cmm.pt](http://www.cmm.pt)



## Curso de Formação:

# Dimensionamento Sísmico de Estruturas Metálicas

Lisboa, 24 e 25 de Setembro de 2010



Rita Bento